



Министерство науки и высшего образования Российской Федерации  
Федеральное государственное бюджетное образовательное учреждение  
высшего образования  
«Московский государственный технический университет  
имени Н. Э. Баумана  
(национальный исследовательский университет)»  
(МГТУ им. Н. Э. Баумана)

---

ФАКУЛЬТЕТ «Информатика и системы управления»

---

КАФЕДРА «Программное обеспечение ЭВМ и информационные технологии»

---

# РАСЧЕТНО-ПОЯСНИТЕЛЬНАЯ ЗАПИСКА

## *К КУРСОВОЙ РАБОТЕ*

### *НА ТЕМУ:*

*«Моделирование изображения объекта в  
неотполированном цветном зеркале»*

Студент ИУ7-53Б  
(Группа)

\_\_\_\_\_  
(Подпись, дата)

Авдейкина В. П.  
(И. О. Фамилия)

Руководитель курсовой работы

\_\_\_\_\_  
(Подпись, дата)

Новик Н. В.  
(И. О. Фамилия)

*2024 г.*

## РЕФЕРАТ

# СОДЕРЖАНИЕ

<b>ВВЕДЕНИЕ</b>	<b>4</b>
<b>1 Аналитическая часть</b>	<b>5</b>
1.1 Формализация задачи синтеза изображения . . . . .	5
1.2 Физическая природа зеркальных поверхностей . . . . .	6
1.3 Существующие алгоритмы решения задачи . . . . .	8
1.3.1 Описание алгоритмов . . . . .	8
1.3.2 Сравнение алгоритмов . . . . .	10
<b>2 Конструкторская часть</b>	<b>12</b>
2.1 Хранение данных, обратная трассировка лучей . . . . .	12
2.1.1 Формальное описание луча . . . . .	13
2.1.2 Обработка пересечения луча с объектом . . . . .	15
2.1.3 Схема алгоритма обратной трассировки лучей . . . . .	19
2.2 Функциональная декомпозиция . . . . .	21
2.3 Перенос объектов сцены . . . . .	21
<b>3 Технологическая часть</b>	<b>22</b>
3.1 Средства реализации программного обеспечения . . . . .	22
3.2 Структура программного обеспечения . . . . .	23
3.3 Пользовательский интерфейс . . . . .	25
<b>4 Исследовательская часть</b>	<b>27</b>
4.1 Цель исследования, технические характеристики устройства . .	27
4.2 Результаты тестирования . . . . .	27
<b>ЗАКЛЮЧЕНИЕ</b>	<b>30</b>
<b>СПИСОК ИСПОЛЬЗОВАННЫХ ИСТОЧНИКОВ</b>	<b>33</b>
<b>ПРИЛОЖЕНИЕ А</b>	<b>34</b>

# ВВЕДЕНИЕ

Компьютерная графика в 21 веке не перестала быть развивающейся наукой и упоминается в [1], [2], [3], [4], [5]. Одной из стандартных задач компьютерной графики является синтез изображения [2], [6].

За последние 20 лет визуализация зеркальных поверхностей (зеркал) остается актуальной проблемой, о чем свидетельствует ее обсуждение в [7], [8], [9], [10].

Цель работы — разработка программного обеспечения, осуществляющего моделирование статической сцены с изображением предмета в неотполированном цветном зеркале.

Для достижения поставленной цели требуется решить следующие задачи:

- 1) проанализировать предметную область зеркальных поверхностей, выполнить формализацию задачи синтеза изображения в контексте моделирования статической сцены, рассмотреть известные методы и алгоритмы ее решения;
- 2) спроектировать программное обеспечение;
- 3) выбрать средства реализации и разработать программное обеспечение;
- 4) исследовать характеристики разработанного программного обеспечения.

# 1 Аналитическая часть

В данном разделе формализована задача синтеза изображения предмета в неотполированном цветном зеркале в контексте моделирования статической сцены, проанализированы известные алгоритмы решения этой задачи.

## 1.1 Формализация задачи синтеза изображения

На рисунке 1.1 представлена диаграмма IDEF0 формализуемой задачи.

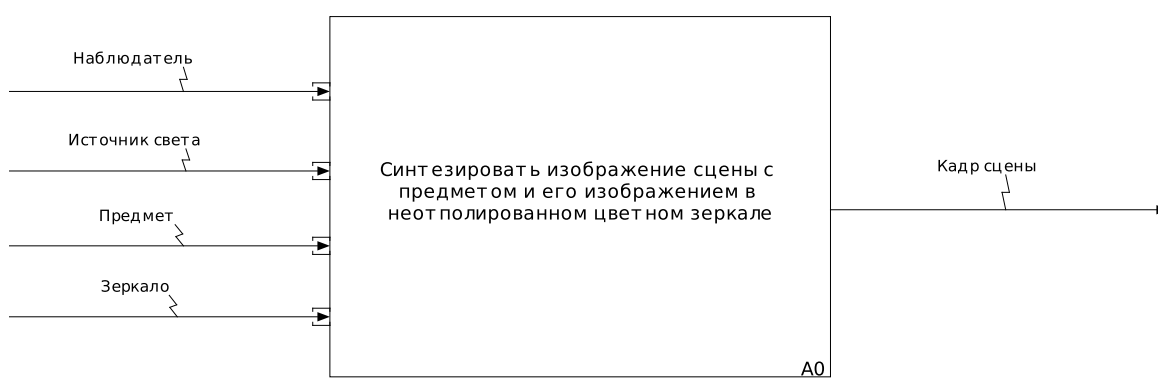


Рисунок 1.1 — Диаграмма IDEF0 формализуемой задачи

*Модель* — отображение формы и размеров какой-либо сущности [6].

В данной работе используется поверхностное представление моделей, при котором они представляются аналитически (полностью или частично) [6].

Процесс изучения модели вместо реальной сущности называется *моделированием*.

Сцена состоит из набора сущностей:

- 1) *наблюдатель*, характеризующийся положением точки наблюдения в пространстве, направлениями взгляда и вертикальной оси [6];
- 2) *точечный источник света*, характеризующийся положением в пространстве, интенсивностью и цветом света [6];

- 3) *предмет* — модель геометрического тела, свойства (радиус, высота и так далее) которого определяются заданными пользователем параметрами;
- 4) *зеркало* — модель ограниченной поверхности, обладающая степенью полировки, цветом, радиусом и описанием границ.

Зеркало и предмет называются *объектами (сцены)*.

Модели, используемые в работе, требуют соблюдения физических законов.

## 1.2 Физическая природа зеркальных поверхностей

*Луч (световой)* — узкий пучок света, представленный геометрической линией, вдоль которой в определенном направлении распространяется свет [11], [12]. В геометрической оптике полагается, что луч распространяется прямолинейно до тех пор, пока не встретится отражающая поверхность или граница среды преломления [2].

Если луч падает на поверхность в точку  $A$  и отражается от нее, а через эту точку к поверхности проведена нормаль  $n$ , то углы, заключенные между нормалью и направлениями падающего, отраженного лучей ( $a$ ,  $b$ ), называются углами *падения*, *отражения* соответственно [11], [12], [13]. Описанные элементы представлены на рисунке 1.2.

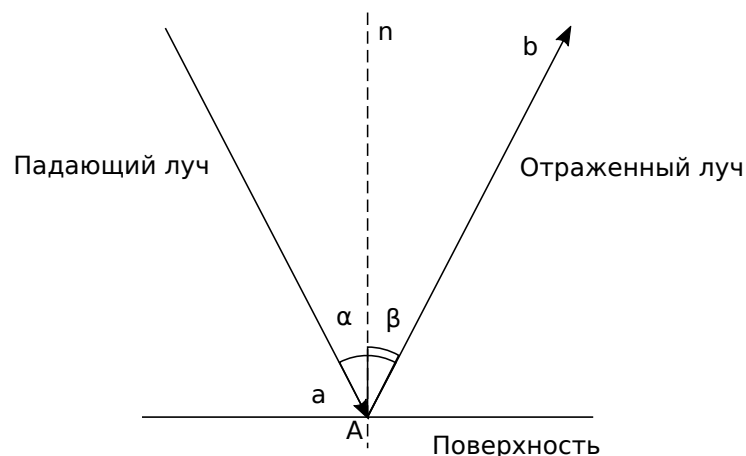


Рисунок 1.2 — Отражение луча от поверхности

*Зеркало* — поверхность, от которой отражаются лучи. *Зеркальным отражением* называется такое отражение, для которого справедлива формула 1.1:

$$\alpha = \beta, \quad (1.1)$$

где  $\alpha$  — угол падения,  $\beta$  — угол отражения, лучи и нормаль находятся в одной плоскости [2], [12], [13].

Отражение луча света от некоторого объекта сцены представлено на рисунке 1.3. Рисунок 1.3 содержит следующие обозначения:  $\vec{N}$  — нормаль к поверхности в точке падения луча,  $\vec{V}$ ,  $\vec{L}$ ,  $\vec{R}$  — векторы, обозначающие направления от точки объекта к наблюдателю, обратное вектору наблюдения и отраженного луча (который вычисляется по формуле 1.2) соответственно,  $\alpha = \angle(\vec{L}, \vec{N})$ ,  $\beta = \angle(\vec{N}, \vec{R})$ ,  $\omega = \angle(\vec{R}, \vec{V})$ .

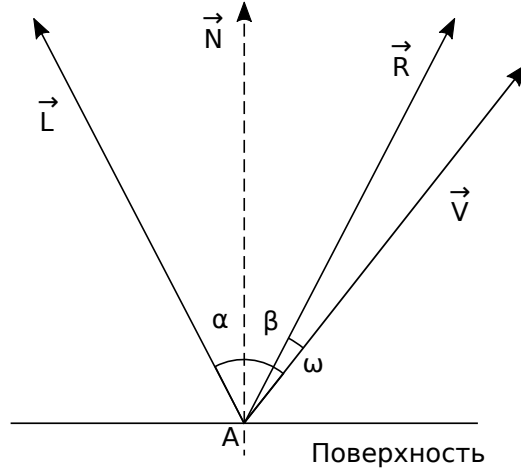


Рисунок 1.3 — Отражение луча света от некоторого объекта сцены

$$\vec{R} = \vec{L} - 2 \cdot \vec{N} \cdot (\vec{N}, \vec{L}) \quad (1.2)$$

*Идеальным зеркалом* называется такое зеркало, отраженный от которого свет наблюдатель с направлением взгляда  $-\vec{V}$  сможет увидеть только в том случае, если угол  $\omega$  равен нулю, а для  $\alpha$  и  $\beta$  выполняется формула 1.1 [2].

Для зеркал, которые не являются идеальными, отражение описывается моделью Фонга, согласно которой интенсивность  $I_s$  отраженного света представлена в виде формулы 1.3 [2]:

$$I_s = I_p K_s \cos^n \omega, \quad (1.3)$$

где  $K_s$  — коэффициент, учитывающий свойства объекта параметром зеркальности,  $n$  — числовой коэффициент, связанный со скоростью убывания интенсивности отраженного света,  $I_p$  — интенсивность точечного источника света,  $\cos \omega = \frac{\vec{R} \cdot \vec{V}}{|\vec{R}| |\vec{V}|}$ .

*Диффузным отражением* называется такое отражение, при котором равенство из формулы 1.1 не выполняется и происходит равномерное по всем направлениям рассеивание отраженного света [2]. Его интенсивность  $I_d$  можно найти по закону Ламберта, выраженному формулой 1.4 [2]:

$$I_d = I_p K_d \cos \alpha, \quad (1.4)$$

где  $K_d$  — коэффициент, учитывающий свойства объекта параметром диффузного отражения,  $\cos \alpha = (\vec{L}, \vec{N})$ .

Согласно модели Уиттеда интенсивность  $I$  некоторой точки с некоторыми оптическими свойствами определяется суммарной интенсивностью по формуле 1.5 с использованием формул 1.3, 1.4 [2], [14]:

$$I = I_a K_a C + I_t K_t + I_p K_d C \cos(\vec{L}, \vec{N}) + I_p K_s \cos^n \omega + I_r K_r, \quad (1.5)$$

где  $I_t$ ,  $I_r$ ,  $I_a$  — интенсивности преломленного и отраженного лучей, фонового света,  $K_t$ ,  $K_a$ ,  $K_r$  — коэффициенты, учитывающие свойства объекта параметрами прозрачности, фоновой подсветки и отражения,  $C$  — цвет точки.

### 1.3 Существующие алгоритмы решения задачи

Среди известных алгоритмов визуализации поверхностей существуют такие алгоритмы, как выбрасывание лучей (raycasting), пошаговое распространение лучей (ray marching), обратная трассировка лучей.

#### 1.3.1 Описание алгоритмов

*Обратная трассировка лучей* представлена авторами [2] этапами:

- 1) от наблюдателя в каждую точку (пиксель) экрана испускаются первичные лучи;
- 2) один из лучей достигает объекта;
- 3) луч преломляется или отражается, то есть порождает вторичные лучи;
- 4) обработка луча прекращается, когда он перестает пересекать объекты сцены.



Интенсивность некоторой точки объекта в описанном алгоритме вычисляется по формуле 1.5.

Пример визуализации обработки луча в алгоритме обратной трассировки представлен на рисунке 1.4.

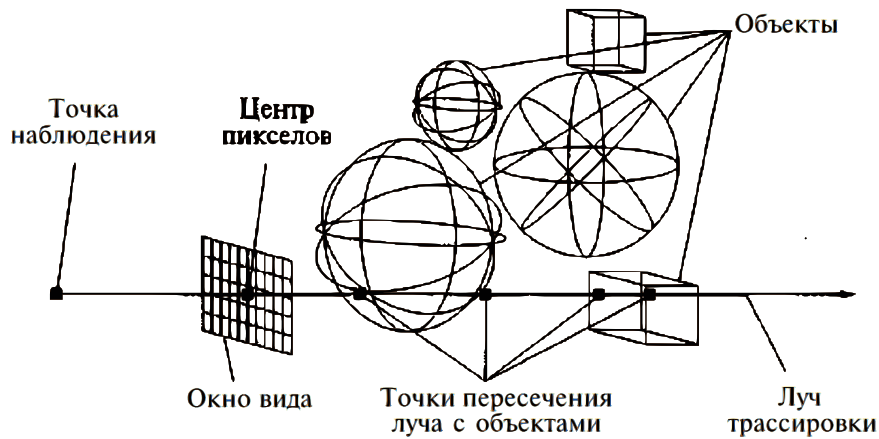


Рисунок 1.4 — Визуализация обработки луча в алгоритме обратной трассировки [15]

В соответствии с [16] *алгоритм выбрасывания лучей (raycasting)* позволяет обрабатывать поверхностные модели и представляется в виде последовательности шагов (выполняемыми для каждого шага угла обзора):

- 1) испустить луч из точки наблюдения, рассчитать расстояние от места испускания луча до каждого из объектов сцены;
- 2) определить, для какого из них оно является наименьшим;
- 3) выполнить визуализацию вертикальной «полосы» этого объекта.

Пример визуализации процесса обработки модели алгоритмом выбрасывания лучей представлен на рисунке 1.5.

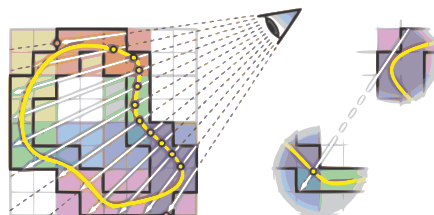


Рисунок 1.5 — Визуализация процесса обработки 2D карты алгоритмом выбрасывания лучей (raycasting) [17]

Алгоритм пошагового распространения лучей (*ray marching*) описывается в [18] для каждого луча, испускаемого из точки наблюдения через пиксели экрана, следующими действиями:

- 1) рассчитать значения функции расстояния со знаком до каждого объекта сцены относительно текущей точки начала распространения луча;
- 2) выбрать наименьшее из этих значений;
- 3) если выбранное расстояние меньше некоторой заданной малой величины, запустить рекурсивное распространение лучей из точки объекта в соответствии с оптическими свойствами его поверхности;
- 4) если выбранное расстояние больше некоторой заданной большой величины, визуализировать фон;
- 5) принять за следующую точку начала ту, которая находится на выбранном расстоянии по направлению распространения исходного луча, перейти на шаг 1.

Пример визуализации обработки одного луча в алгоритме пошагового распространения представлен на рисунке 1.6.

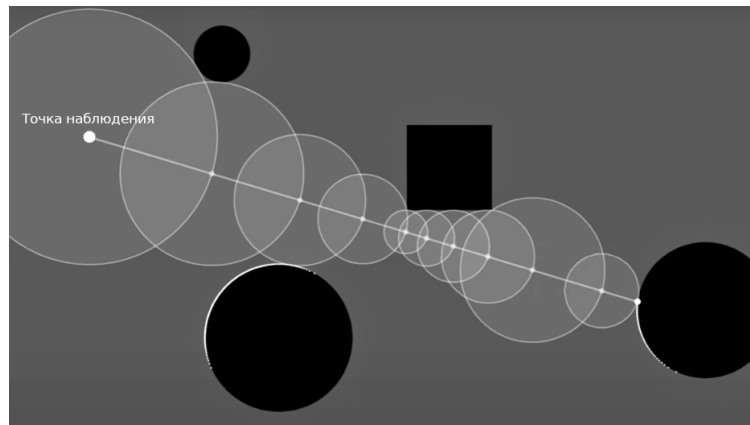


Рисунок 1.6 — Визуализация обработки одного луча в алгоритме пошагового распространения [18]

### 1.3.2 Сравнение алгоритмов

На основе источников, которые были использованы для приведенного выше описания, осуществлено сравнение анализируемых алгоритмов.

В таблице 1.1 приведены результаты сравнения, критерии которого расположены по горизонтали и включают в себя:

- 1) сложность алгоритма в зависимости от чисел пикселей  $C$  и объектов  $N$ ;
- 2) рабочее пространство алгоритма (сцены — «С», экранное — «Э»);
- 3) форма моделей, которая может быть использована при использовании алгоритма (каркасная — «К», поверхностная — «П», объемная — «О»);
- 4) возможность совмещения алгоритма и модели освещения Уиттеда;
- 5) принадлежность обрабатываемых точек объекту.

Таблица 1.1 — Сравнение существующих алгоритмов решения задачи синтеза изображения в контексте моделирования статической сцены

	1	2	3	4	5
Выбрасывание лучей	$O(C \cdot N)$	Э	П	Нет	Да
Пошаговое распространение лучей	$O(C \cdot N)$	Э	О	Да	Нет
Обратная трассировка лучей	$O(C \cdot N)$	Э	О	Да	Да

## Вывод

В данном разделе была выполнена формализация объектов сцены и задачи синтеза изображения предмета в неотполированном цветном зеркале в контексте моделирования статической сцены, проанализированы известные алгоритмы решения этой задачи, предметная область зеркал.

В качестве основного алгоритма выбрана обратная трассировка лучей с использованием модели освещения Уиттеда.

## 2 Конструкторская часть

В данном разделе описывается формат хранения данных о предмете, алгоритм обратной трассировки лучей и изменение местоположения объектов сцены, выполняется функциональная декомпозиция.

### 2.1 Хранение данных, обратная трассировка лучей

Согласно техническому заданию геометрическое тело, которое представляет предмет, выбирается из следующего набора: пирамида, призма, шар, цилиндр, конус.

В качестве хранения информации об объектах сцены используется формат данных STL, в котором поверхности модели объекта и их нормали описываются списком треугольных граней [19]. Заранее созданные сторонними пакетами базовые модели объектов, хранящиеся в формате STL, загружаются в программу и далее обрабатываются. Пример разбиения поверхности на треугольные грани приведен на рисунке 2.1.

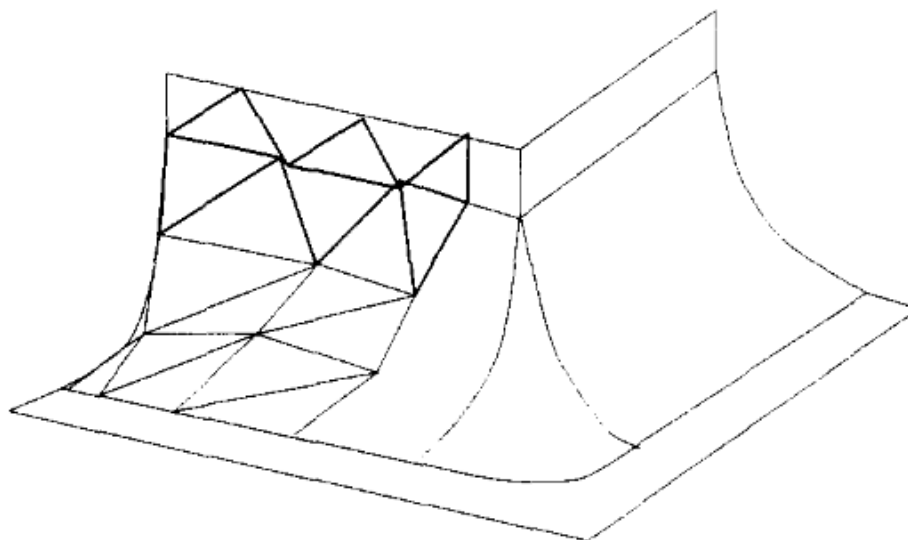


Рисунок 2.1 — Разбиение поверхности на треугольные грани [19]

В работе применяется алгоритм обратной трассировки лучей, суть которого заключается в выпуске из камеры через каждый пиксель экрана множества лучей и отдельной обработке каждого луча.

### 2.1.1 Формальное описание луча

Пример изображения луча, выпущенного из точки  $O$  (origin) по направлению от точки  $O$  до  $F = \vec{D}$  (destination), приведен на рисунке 2.2.

С учетом параметрического уравнения прямой и условия коллинеарности векторов выводится уравнение для вычисления конца этого луча, представленное в формуле 2.1 [15], [20], [14]:

$$P = O + t \cdot \vec{D} \quad (2.1)$$

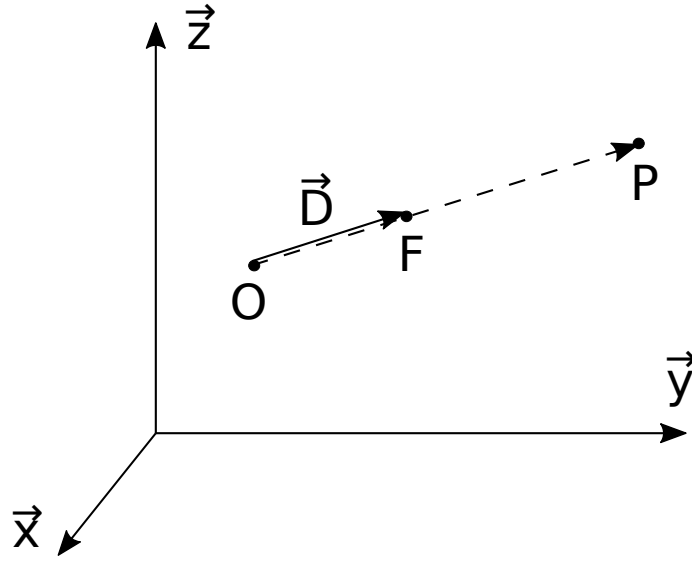


Рисунок 2.2 — Изображение луча, выпущенного из точки  $O$  (origin) по направлению от точки  $O$  до  $F$

Если поверхность, пересечение луча с которой требуется найти, однозначно задана и известна, то коэффициент  $t$  находится с помощью формулы 2.2.

$$t = \frac{\vec{P} - \vec{O}}{\vec{D}} \quad (2.2)$$

То есть для полной информации о луче в рассматриваемых далее алгоритмах достаточно задать значения двух величин —  $\vec{O}$ ,  $\vec{D}$ .

Все лучи испускаются из камеры, поэтому ее необходимо формализовать. Камера представлена моделью, которая приведена на рисунке 2.3.

Для выполнения обратной трассировки лучей необходимо иметь возможность вычислить луч, выпущенный из камеры, расположенной в точке *center*, через некоторый пиксель экрана  $(i, j)$ .

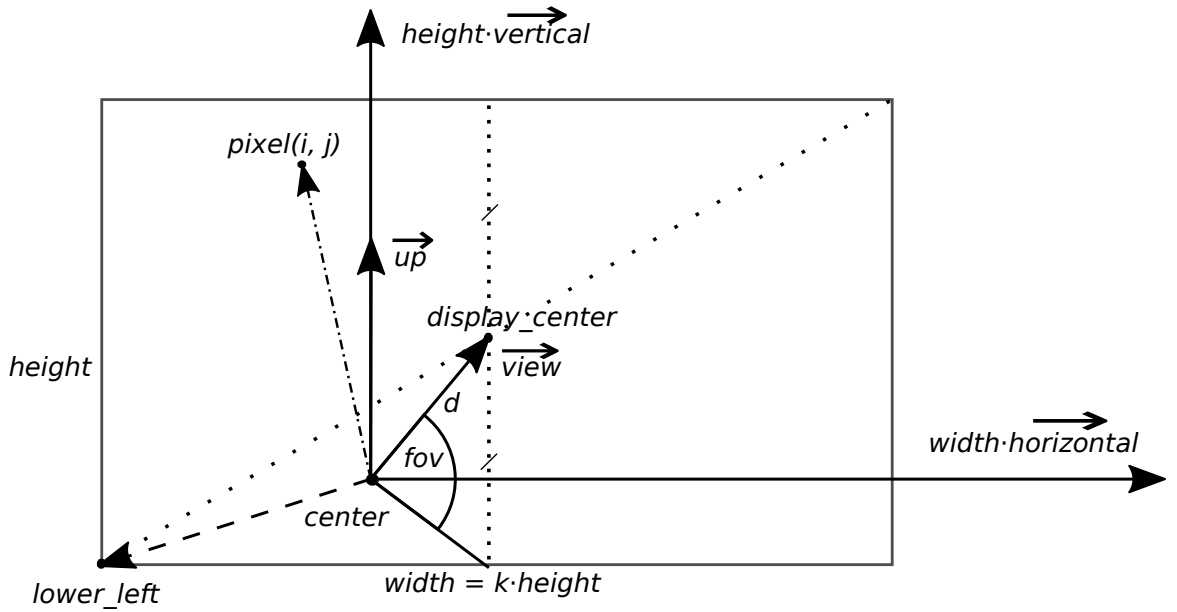


Рисунок 2.3 — Используемая модель камеры

Пусть:

- 1) центр экрана — точка  $display\_center$ , его ширина и высота —  $width$  и  $height$ , а их отношение —  $k = \frac{width}{height}$ ;
- 2) камера расположена в точке  $center$ , направление взгляда —  $\overrightarrow{view}$ , вертикальная ось —  $\overrightarrow{up}$ , область видимости задана углом  $fov$ ;
- 3)  $d$  — расстояние между камерой и экраном.

Тогда из определения тангенса угла выводится формула 2.3:

$$height = 2 \cdot d \cdot tg(fov), \quad (2.3)$$

где  $d$  принимается равным 1.

Согласно определению  $k$  получается формула 2.4:

$$width = k \cdot height. \quad (2.4)$$

Для вычисления горизонтального и вертикального направлений используются формулы 2.5, 2.6 соответственно (после применения каждой из формул результат необходимо нормализовать).

$$\overrightarrow{horizontal} = \overrightarrow{view} \times \overrightarrow{up} \quad (2.5)$$

$$\overrightarrow{vertical} = \overrightarrow{horizontal} \times \overrightarrow{view} \quad (2.6)$$

Искомый луч высчитывается относительно начала отсчета, в качестве которого выбрана нижняя левая точка экрана —  $lower\_left$  (то есть вектор  $\overrightarrow{lower\_left}$ ). Для нахождения начала отсчета используется формула 2.7:

$$\overrightarrow{lower\_left} = \overrightarrow{view} - \frac{\overrightarrow{display\_h} + \overrightarrow{display\_v}}{2}, \quad (2.7)$$

где  $\overrightarrow{display\_h} = width \cdot \overrightarrow{horizontal}$ ,  $\overrightarrow{display\_v} = height \cdot \overrightarrow{vertical}$ .

С использованием формулы 2.7 получаем конечную формулу 2.8 для вычисления луча, выпущенного из камеры через некоторый пиксель  $(i, j)$  экрана:

$$\overrightarrow{ray} = \overrightarrow{lower\_left} + i \cdot \overrightarrow{display\_h} + j \cdot \overrightarrow{display\_v} \quad (2.8)$$

### 2.1.2 Обработка пересечения луча с объектом

Обработка луча в рамках рассматриваемого алгоритма заключается в поиске пересечения луча с объектом сцены, то есть с некоторой треугольной гранью, которая принадлежит объекту. Вычислительная стоимость определения пересечений произвольного луча с одним выделенным объектом, как указывают авторы [15], [20], [14], может оказаться высокой, поэтому для избавления от ненужной части поиска производится проверка пересечения луча с ограничивающим телом объекта.

*Ограничивающее тело* — некоторое простое геометрическое тело (например, параллелепипед, сфера), описанное около одного или нескольких объектов сцены [14].

*kD-деревом* называется бинарное дерево ограничивающих параллелепипедов, вложенных друг в друга [14].

Таким образом, для поиска пересечения отдельного луча с некоторым объектом необходимо иметь возможность вычислить пересечение (или определить его наличие) с kD-деревом, ограничивающим параллелепипедом и треугольной гранью этого объекта.

Схема алгоритма поиска пересечения луча с треугольной гранью объекта (в соответствии с описанием из [21]) представлена на рисунке 2.4.

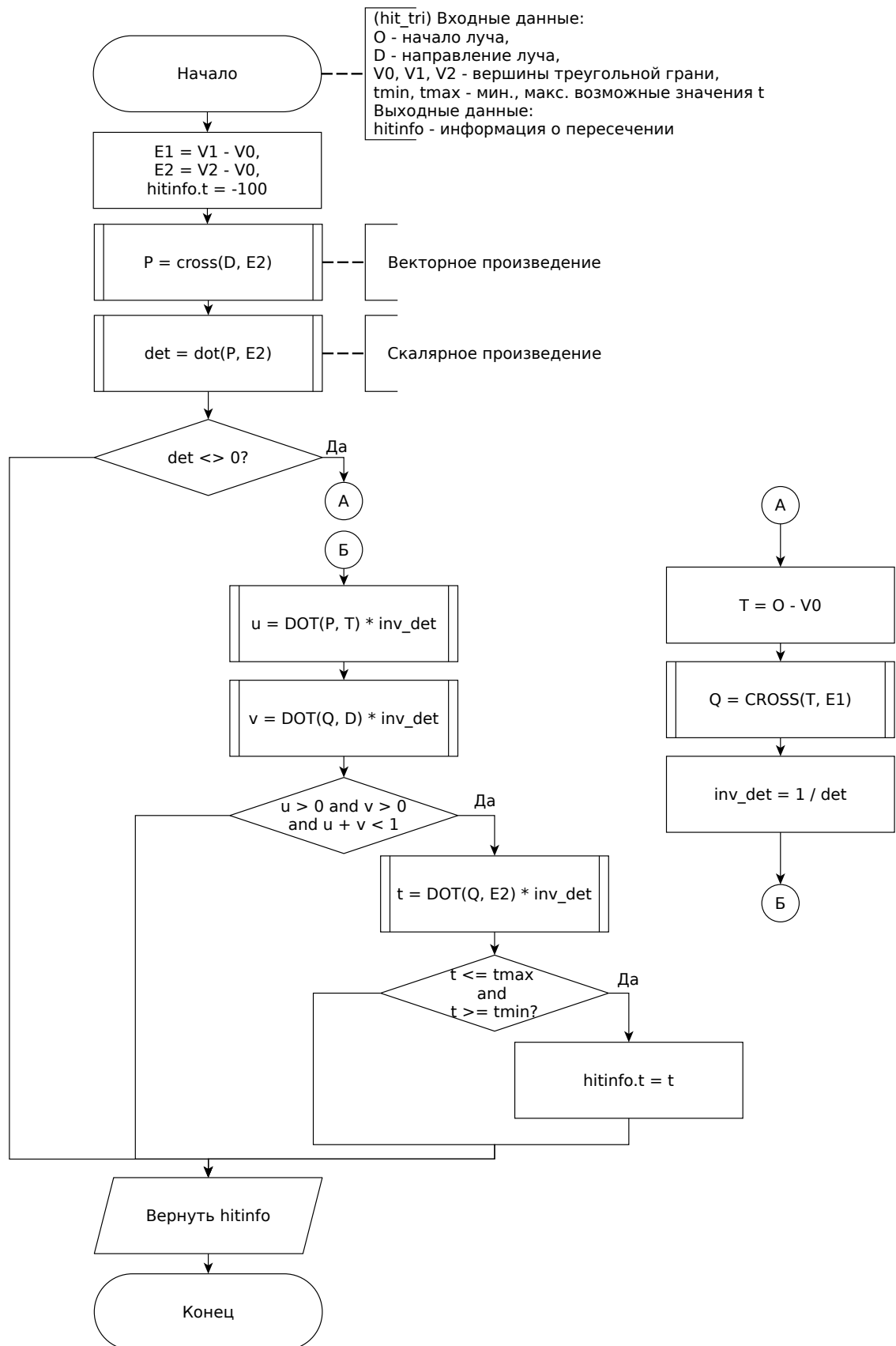


Рисунок 2.4 — Схема алгоритма поиска пересечения луча с треугольной гранью



На рисунке 2.5 приведена схема алгоритма определения наличия пересечения луча с ограничивающим параллелепипедом.

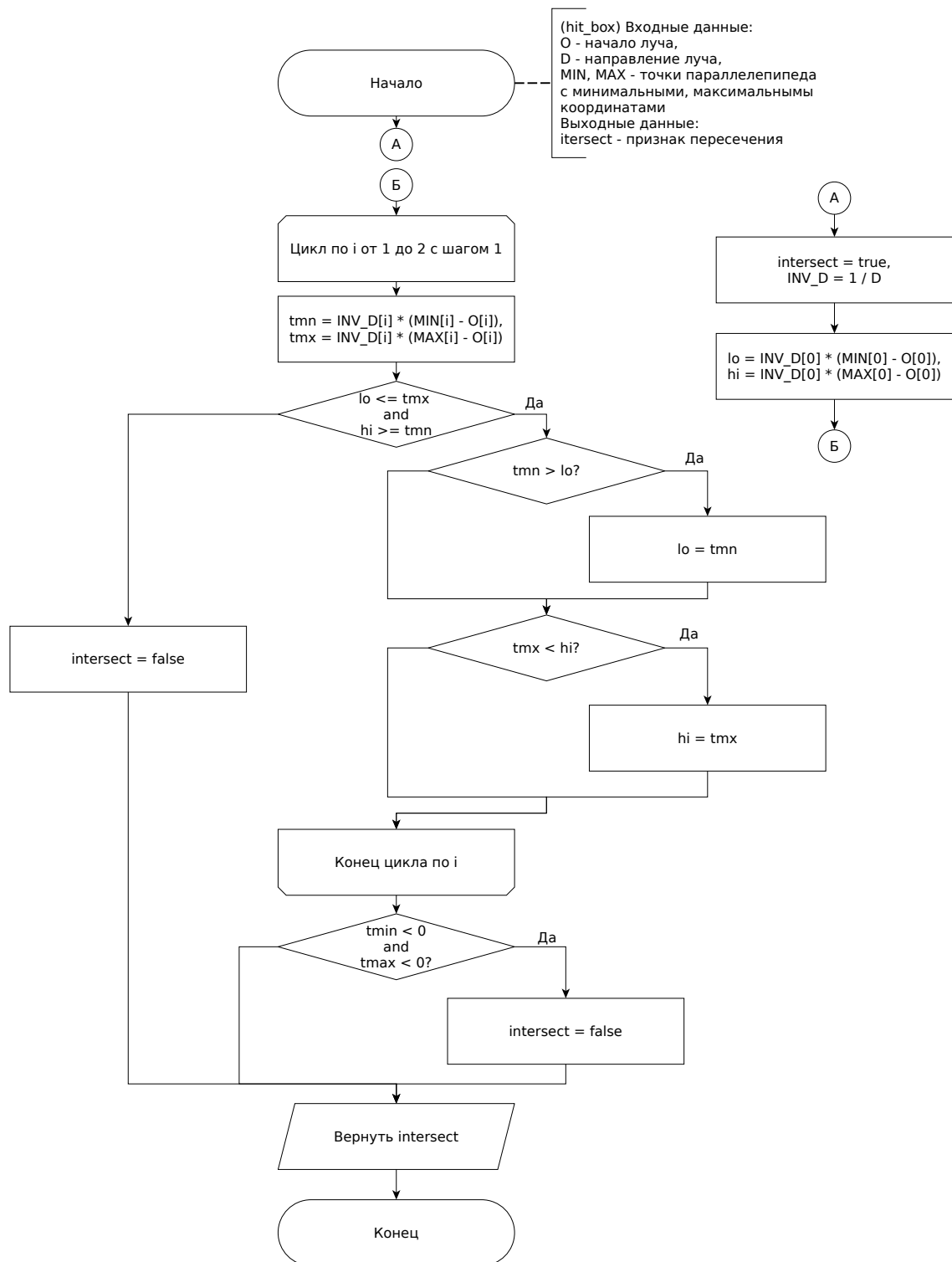


Рисунок 2.5 — Схема алгоритма определения наличия пересечения луча с ограничивающим параллелепипедом

Схема алгоритма поиска пересечения луча с узлом kD-дерева представлена на рисунке 2.6.

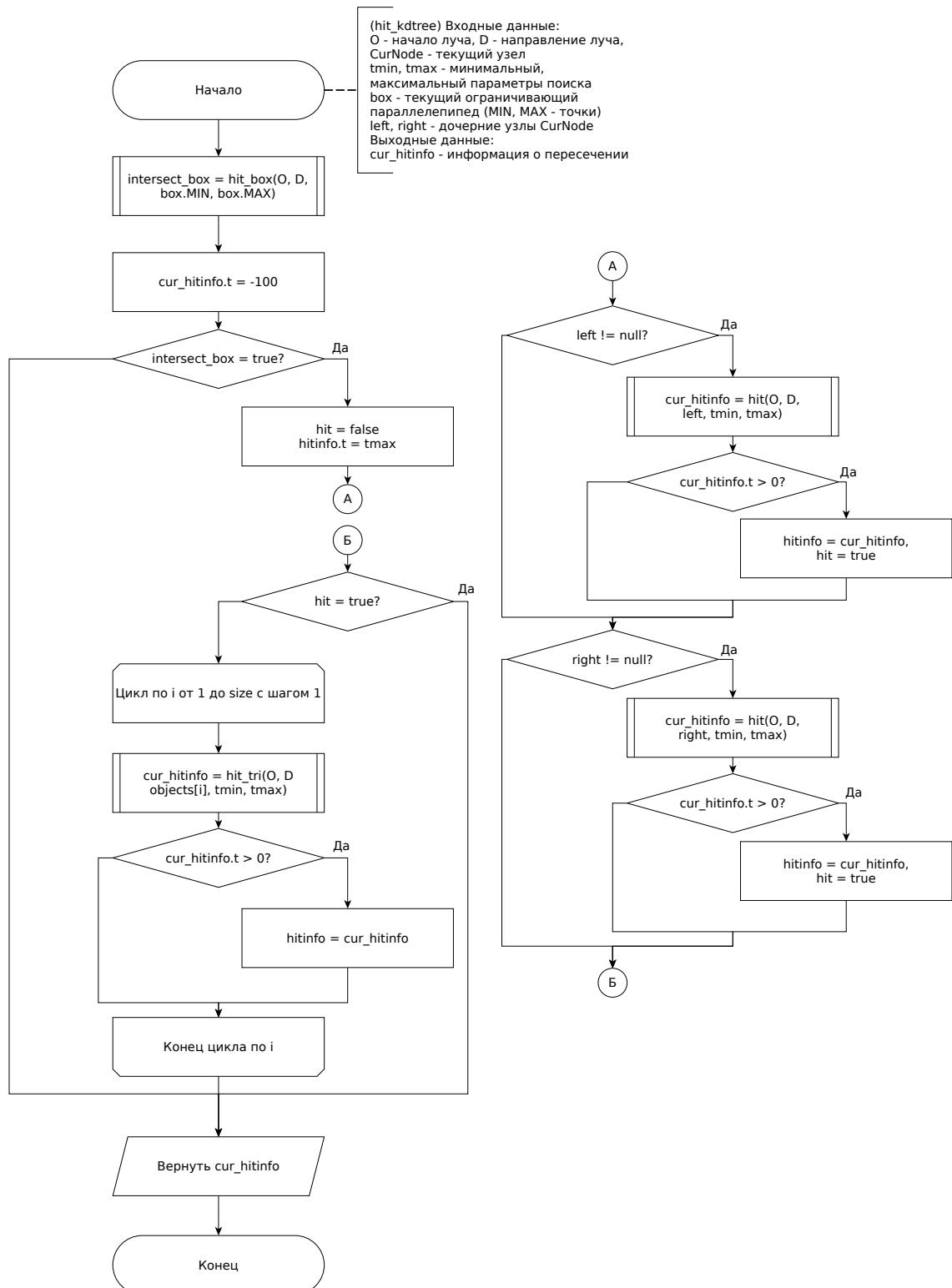


Рисунок 2.6 — Схема алгоритма определения пересечения луча с узлом kD-дерева

### 2.1.3 Схема алгоритма обратной трассировки лучей

Схемы алгоритмов обработки отдельного луча и обратной трассировки лучей (с использованием формулы 2.8) представлены на рисунках 2.7 и 2.8 соответственно.

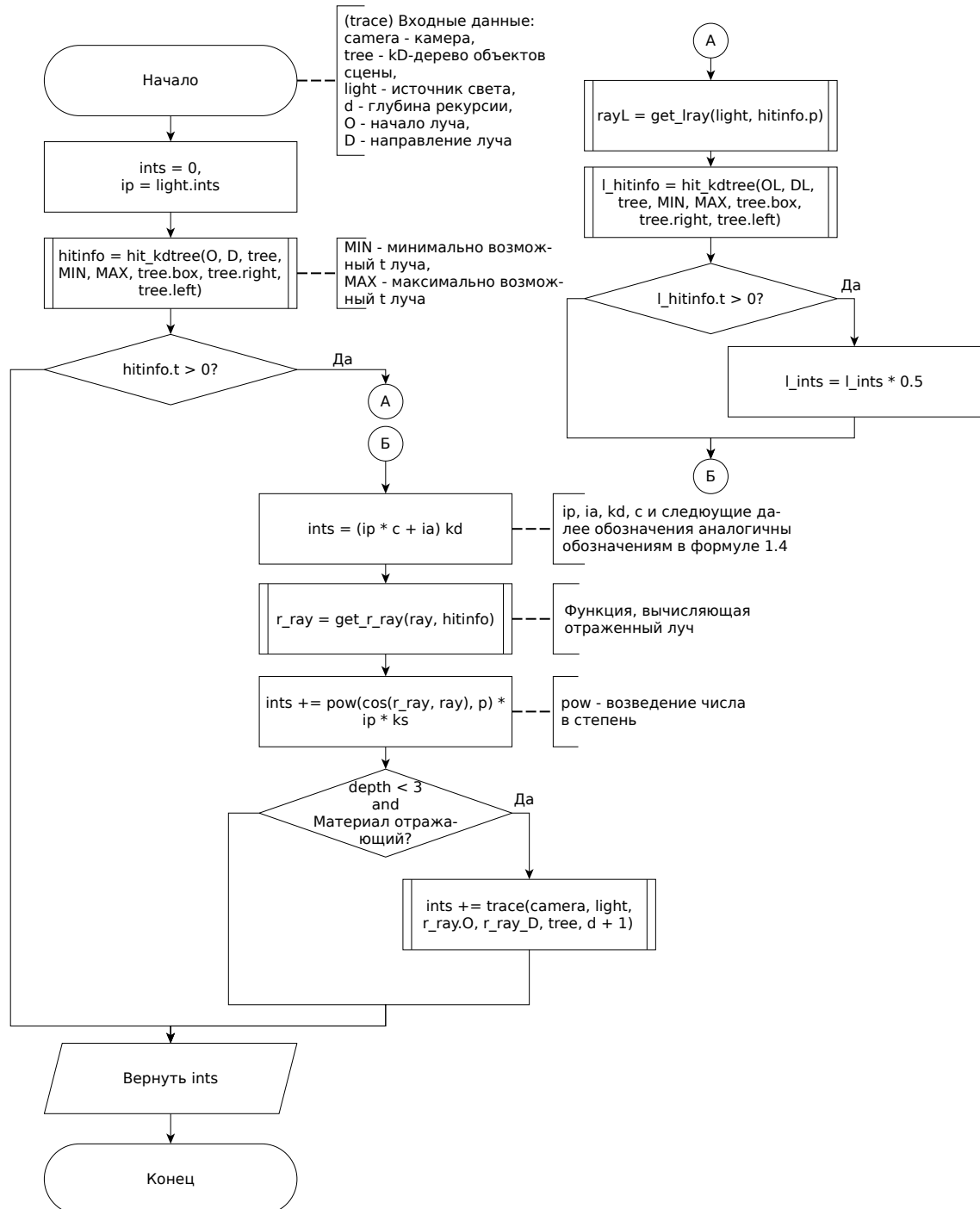


Рисунок 2.7 — Схемы алгоритмов обработки отдельного луча и обратной трассировки лучей

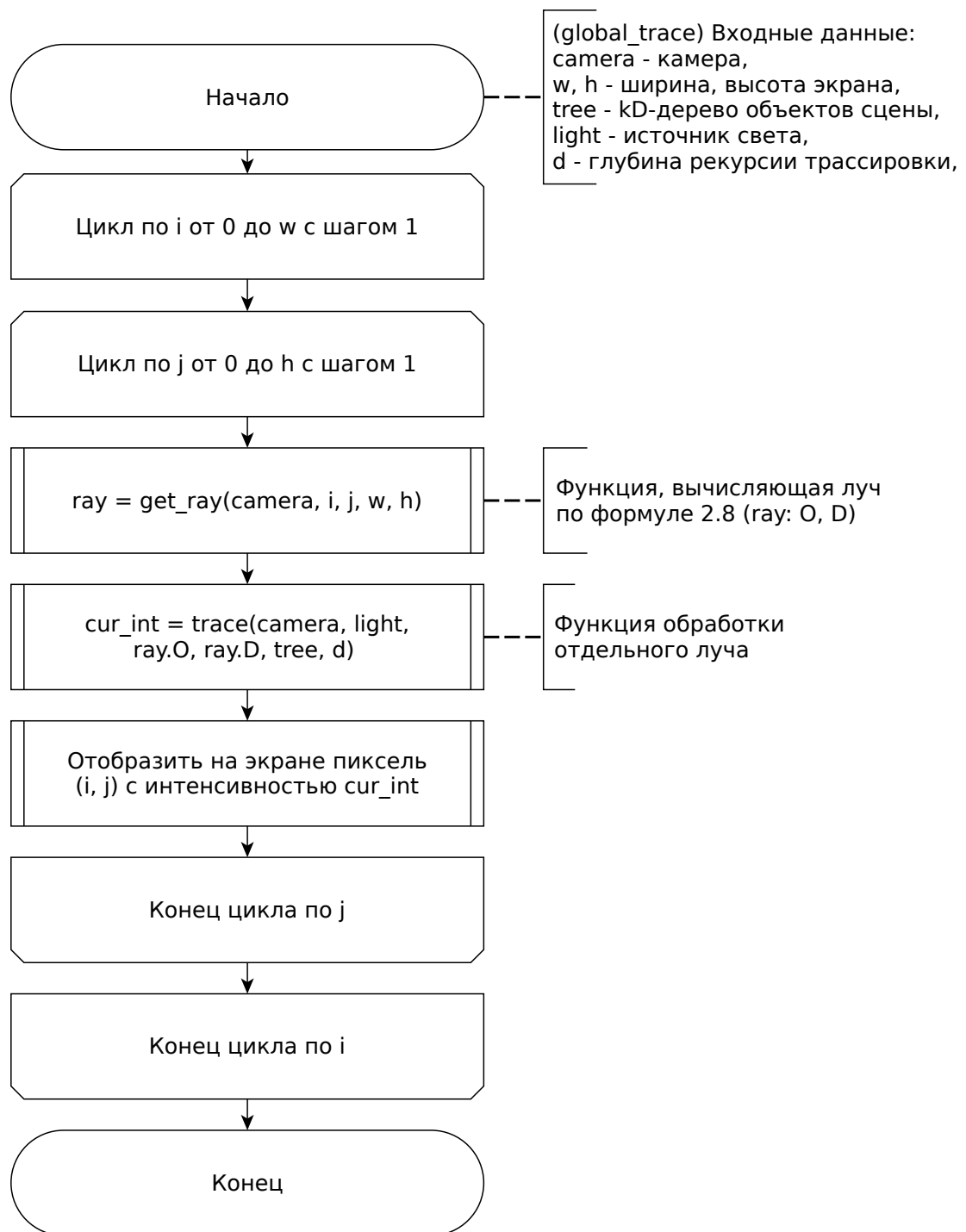


Рисунок 2.8 — Схемы алгоритмов обработки отдельного луча и обратной трассировки лучей

## 2.2 Функциональная декомпозиция

Диаграмма IDEF0 функциональной декомпозиции проектируемого ПО представлена на рисунке 2.9.

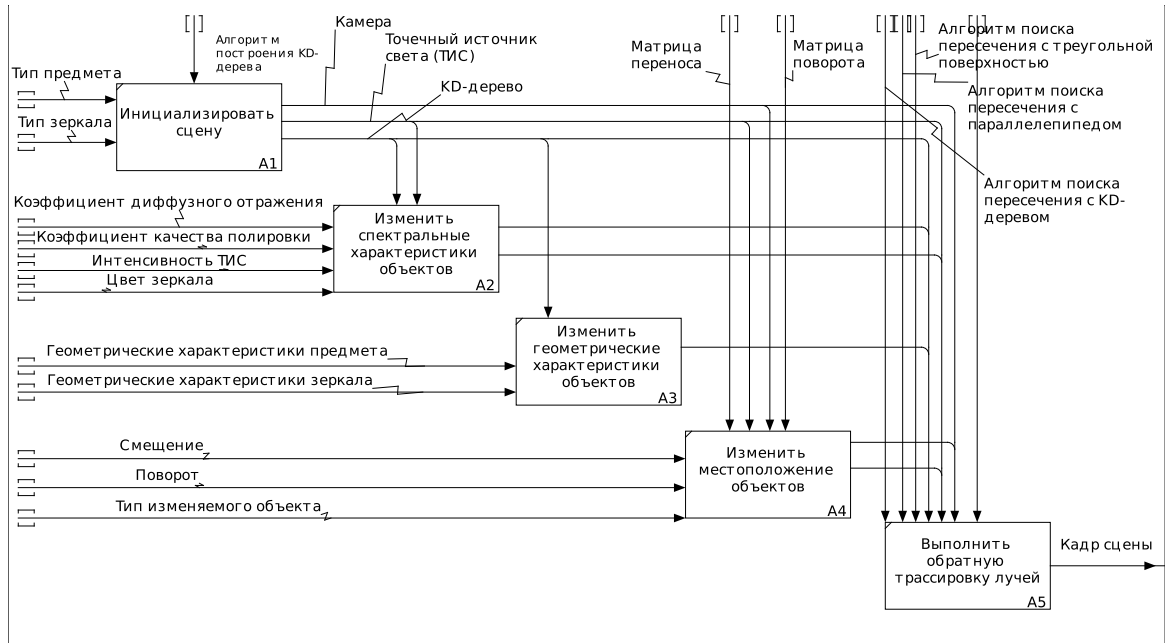


Рисунок 2.9 — Диаграмма IDEF0 функциональной декомпозиции проектируемого ПО

## 2.3 Перенос объектов сцены

Согласно техническому заданию необходимо изменять положение источника света, то есть дать пользователю возможность выполнить перенос в отношении источника света, который реализуется с помощью матрицы переноса в трехмерном пространстве, представленной в формуле 2.9 [6], [14].

$$M(dx, dy, dz) = \begin{pmatrix} 1 & 0 & 0 & 0 \\ 0 & 1 & 0 & 0 \\ 0 & 0 & 1 & 0 \\ dx & dy & dz & 1 \end{pmatrix} \quad (2.9)$$

## Вывод

В данном разделе были описаны алгоритм обратной трассировки лучей, формат хранения данных и средства для осуществления переноса и поворота объектов сцены, выполнена функциональная декомпозиция.

## 3 Технологическая часть

В данном разделе описывается и обосновывается набор средств реализации программного обеспечения и приводятся детали реализуемой программы.

### 3.1 Средства реализации программного обеспечения

В качестве языка программирования был выбран язык C++, так как присутствуют следующие причины:

- имеется опыт разработки на данном языке программирования;
- средствами языка можно реализовать все спроектированные алгоритмы.

Дополнительно используются приведенные ниже библиотеки:

- кроссплатформенная библиотека Qt, предназначенная для разработки графического интерфейса (выбранная по причине наличия опыта работы с использованием данной библиотеки) [22];
- библиотека Intel® Threading Building Blocks (Intel® TBB), предназначенная для создания параллелизма на уровне инструкций во время выполнения программы для эффективного использования ресурсов процессора [23] (выбранная по причине наличия необходимости реализации параллельной версии алгоритма обратной трассировки лучей и совместимости с другими библиотеками потоков [23], что говорит об отсутствии конфликтов с потоками Qt);
- библиотека stl\_reader, предназначенная для обработки файлов, хранящих данные в формате STL, и преобразования их содержимого в пользовательские контейнеры [24] (выбранная по причине необходимости чтения STL-файлов заранее подготовленных моделей геометрических тел).

Для ускорения сборки программного обеспечения использовалась утилита CMake [25].

## 3.2 Структура программного обеспечения

В разрабатываемом программном обеспечении реализуются классы, описанные в диаграмме классов, которая представлена на рисунках 3.1, 3.2, 3.3.

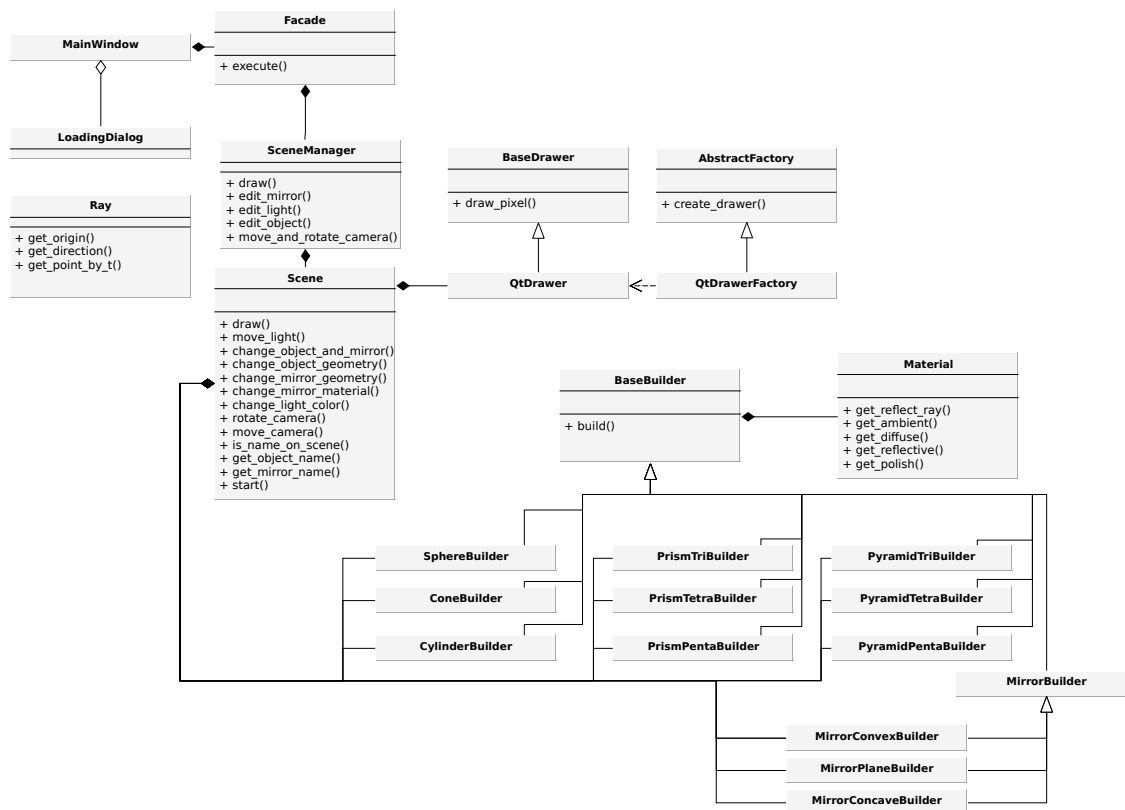


Рисунок 3.1 — Диаграмма классов (часть 1)

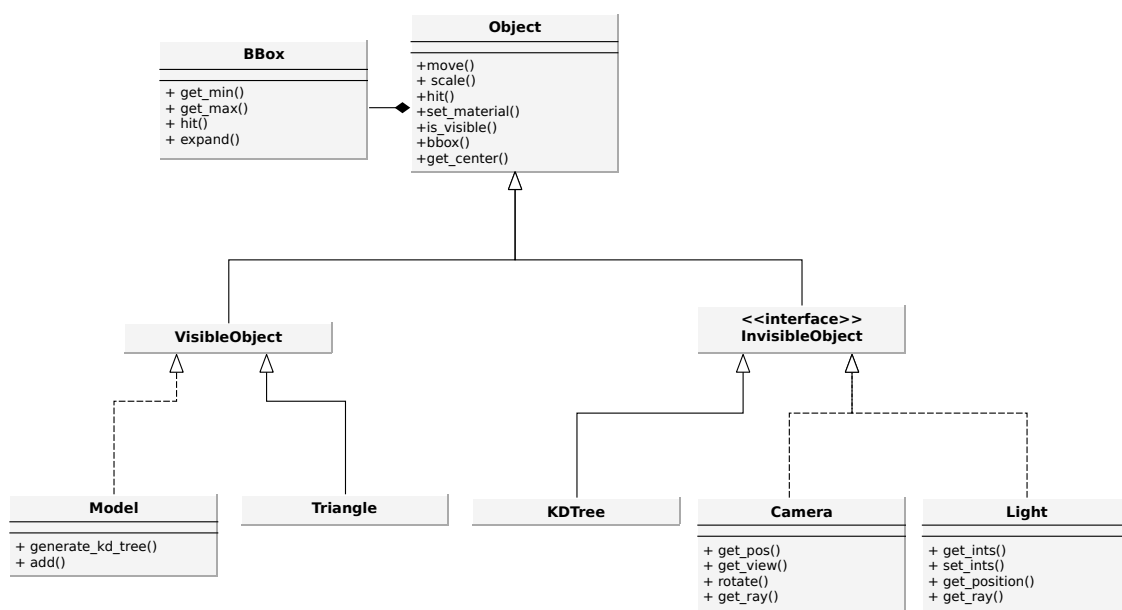


Рисунок 3.2 — Диаграмма классов (часть 2)

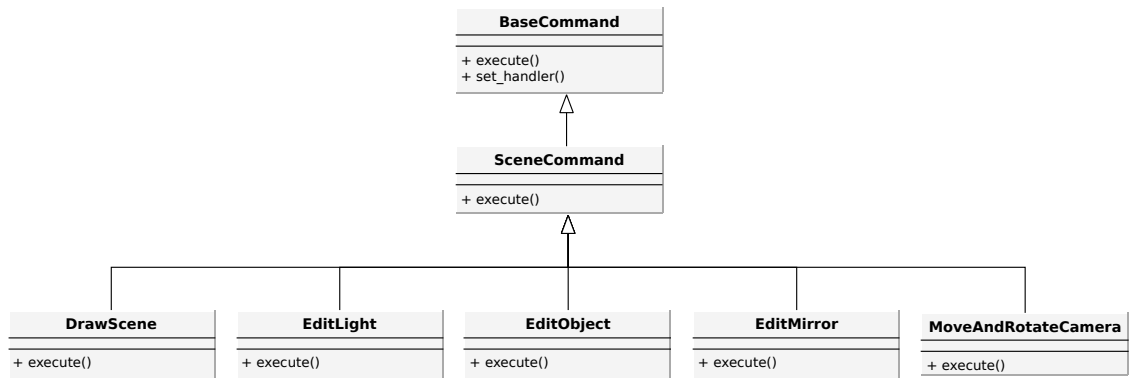


Рисунок 3.3 — Диаграмма классов (часть 3)

Основные классы, реализуемые в программном обеспечении:

- 1) классы, служащие для управления сценой пользователем:
  - Scene — класс, описывающий набор объектов сцены;
  - SceneManager — класс инкапсулирования сцены;
  - QtDrawer — класс, предназначенный для изменения объекта QPixmap (экземпляр класса библиотеки Qt [22])
  - Facade — реализация паттерна «фасад»;
  - NameCommand, SceneCommand — реализация паттерна «команда».
- 2) классы, служащие для описания объектов сцены:
  - Object — базовый класс объекта сцены, определяющий его интерфейс;
  - Model, Triangle — базовые классы модели объекта сцены и ее декомпозиции;
  - Camera — наблюдатель (камера);
  - Light — точечный источник света;
- 3) классы, обеспечивающие реализацию алгоритма обратной трассировки лучей: Ray, KDTree, BBox, Material, QVector.



### 3.3 Пользовательский интерфейс

Интерфейс пользователя включает в себя следующие объекты:

- область изображения сцены;
- поля для изменения параметров зеркала:
  - списки доступных видов и цветов;
  - поле «Коэффициент диффузного отражения» (вещественное число в диапазоне от 0 до 1);
  - поле «Степень полировки» (целое число от 0 до 100);
  - поле «Коэффициент масштабирования радиуса кривизны» (вещественное число в диапазоне от 0 до 100);
  - кнопка «Применить изменения»;
- поля для изменения параметров предмета:
  - списки доступных видов и количества граней (при наличии);
  - поле «Коэффициент масштабирования высоты предмета» (вещественное число в диапазоне от 0 до 100);
  - поле «Коэффициент масштабирования радиуса основания или окружности, описанной около основания» (вещественное число в диапазоне от 0 до 100);
  - поля « $k_x$ », « $k_y$ » для изменения коэффициента угла наклона оси симметрии (вещественные числа в диапазоне от -5 до 5);
  - кнопка «Применить изменения»;
- поля для изменения параметров точечного источника света:
  - поля « $dx$ », « $dy$ », « $dz$ » для смещения положения источника света (вещественные числа в диапазоне от -1000 до 1000);
  - список доступных цветов;
  - кнопка «Применить изменения»;
- поля для изменения параметров камеры:

- поля «dx», «dy», «dz» для смещения камеры (вещественные числа в диапазоне от -1000 до 1000);
- поля «ax», «ay», «az» для поворота камеры (вещественные числа в диапазоне от -1000 до 1000);
- кнопка «Применить изменения».

На рисунке 3.4 представлен пользовательский интерфейс разработанного программного обеспечения.

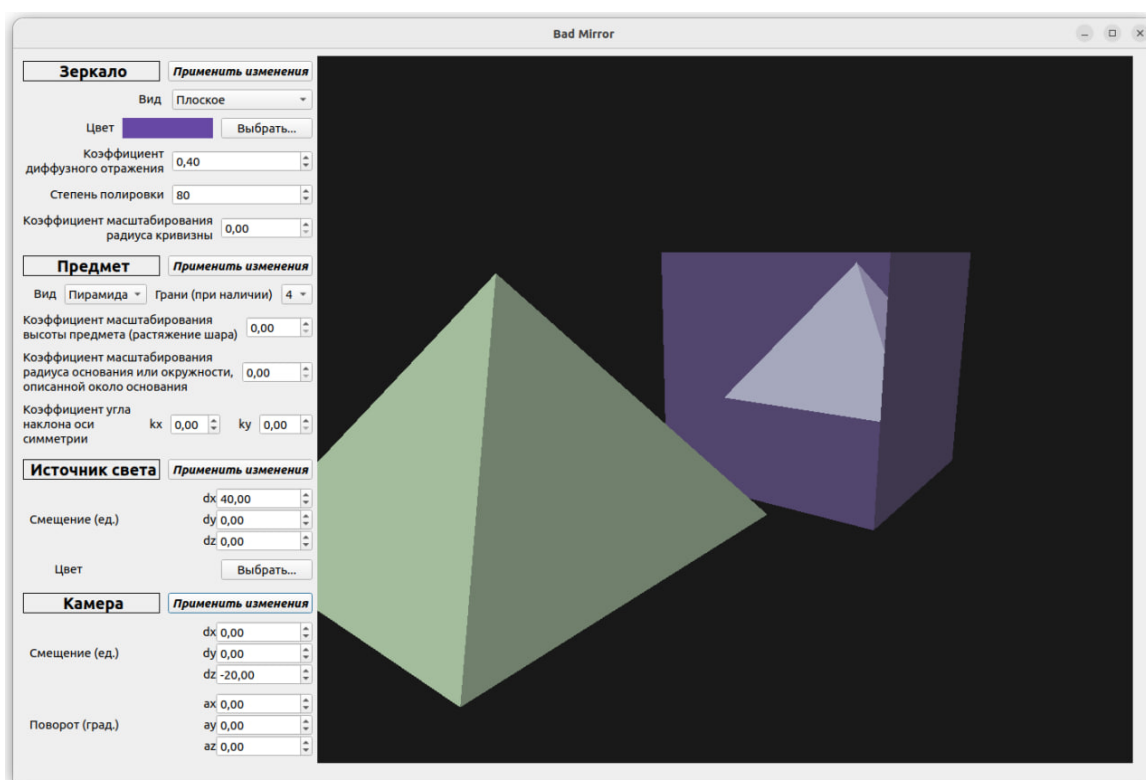


Рисунок 3.4 — Пользовательский интерфейс

## Вывод

В данном разделе был описан и обоснован набор средств реализации программного обеспечения, приведены детали реализуемой программы и описан пользовательский интерфейс.

## 4 Исследовательская часть

В данном разделе описывается цель исследования, технические характеристики устройства, на котором проводится исследование, приводятся результаты исследования и их анализ.

### 4.1 Цель исследования, технические характеристики устройства

В реализации алгоритма обратной трассировки лучей учитывается коэффициент диффузного отражения поверхности зеркала. В том случае, когда он равен единице, рекурсивная часть реализованного алгоритма не выполняется и отражение предмета не формируется.

Цель исследования заключается в определении наличия зависимости времени выполнения алгоритма от коэффициента диффузного отражения.

Технические характеристики устройства, на котором проводится тестирование:

- операционная система — Ubuntu 22.04.3 LTS;
- объем оперативной памяти — 8 Гб;
- процессор — Intel® Core™ i5-8350U CPU @ 1.70GHz × 8.

Тестирование проводится на устройстве, подключенном к сети электропитания. Во время тестирования устройство нагружается только встроенными приложениями окружения, окружением, системой тестирования.

Используется компилятор g++. Оптимизация отключалась с помощью использования опции O0.

### 4.2 Результаты тестирования

Замеры времени выполнения для каждого значения коэффициента диффузного отражения выполняются 20 раз. Максимальное значение коэффициента — 1, изменение значения выполнялось с шагом 0,1, начиная с 0,1.

В таблице 4.1 приведены замеры времени выполнения программы в отношении к времени выполнения программы в случае равенства значения коэффициента единице.

Таблица 4.1 — Замеры относительного времени выполнения

Коэффициент зеркального отражения	Относительное время выполнения
0.1	1.1015
0.2	1.0965
0.3	1.1006
0.4	1.1014
0.5	1.0993
0.6	1.0980
0.7	1.0996
0.8	1.1004
0.9	1.0983
1.0	1.0000

На рисунке 4.1 представлены дискретные данные, полученные в результате тестирования.

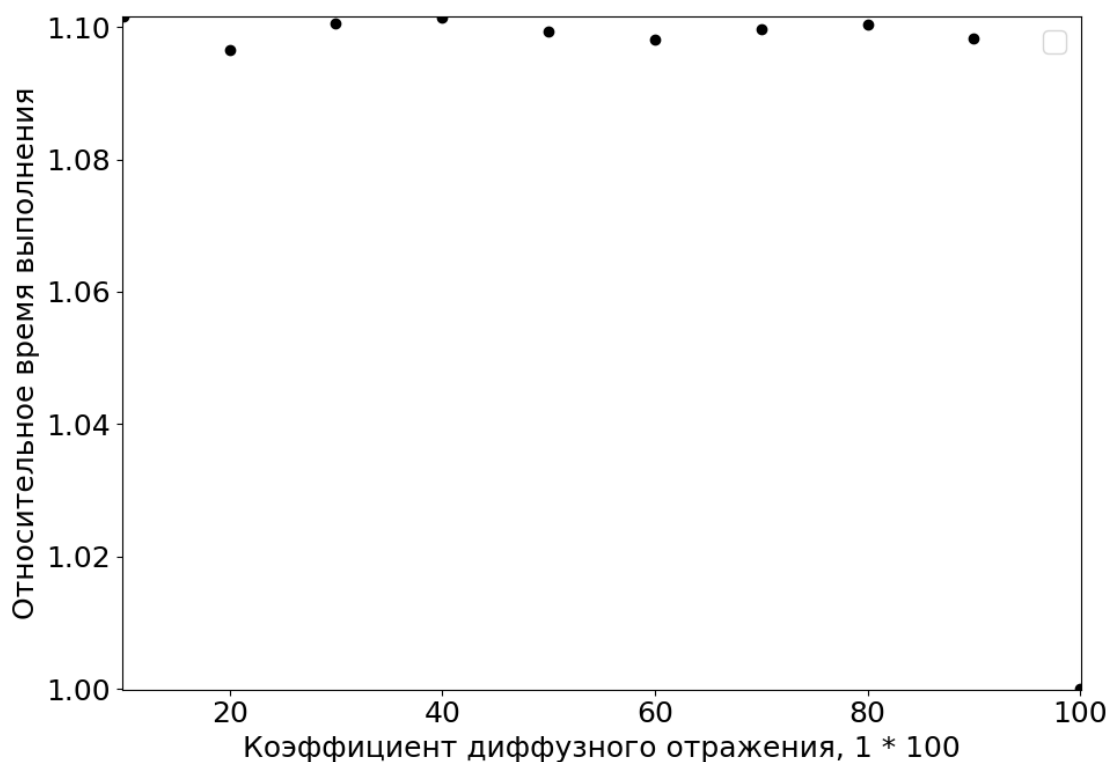


Рисунок 4.1 — Данные, полученные в результате замеров относительного времени выполнения

Зависимость относительного времени работы программы от коэффициента диффузного отражения аппроксимируется с помощью метода наименьших квадратов.

Результат проведения аппроксимации представлен на рисунке 4.2.

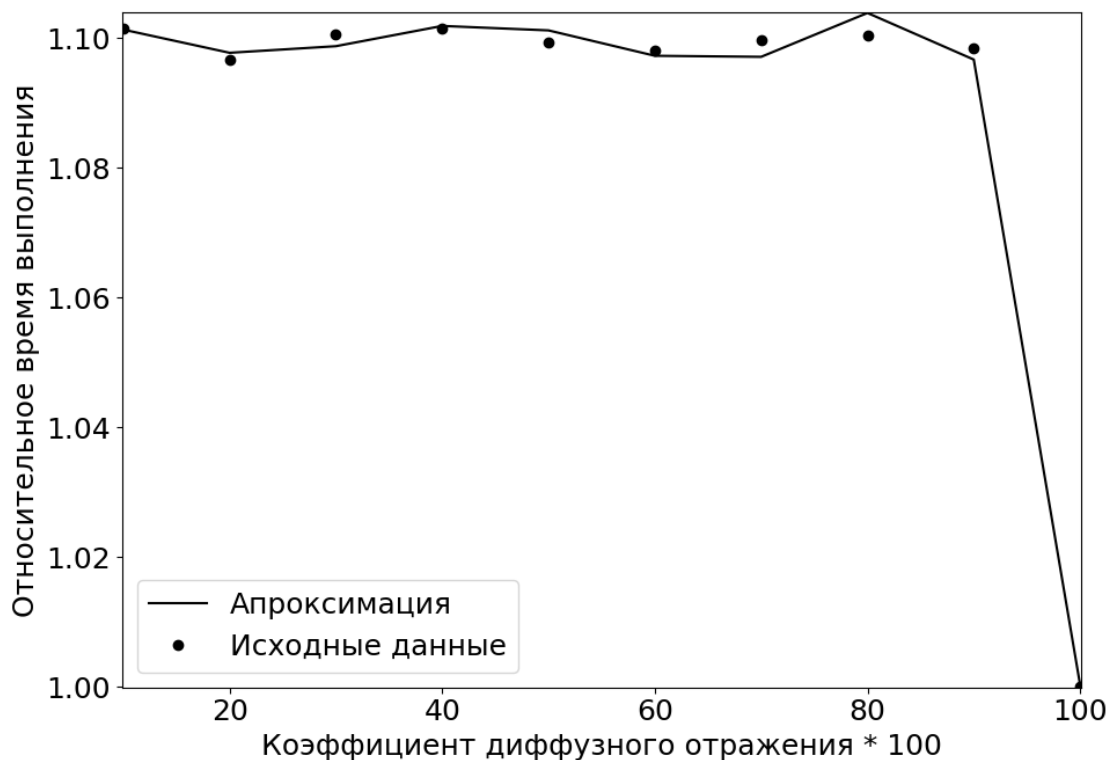


Рисунок 4.2 — Аппроксимация данных, полученных в результате замеров относительного времени выполнения

## Вывод

В данном разделе описывается цель исследования, технические характеристики устройства, на котором проводится исследование, приводятся результаты исследования и их анализ.

Было проведено исследование зависимости времени выполнения программы от значения коэффициента диффузного отражения поверхности зеркала.

В результате аппроксимации с использованием метода наименьших квадратов можно утверждать, что время выполнения программы уменьшается при коэффициенте диффузного отражения, равном единице. В остальных случаях время выполнения программы от коэффициента не зависит.

## ЗАКЛЮЧЕНИЕ

В ходе выполнения работы решены следующие задачи, а именно:

- 1) проанализирована предметная область зеркальных поверхностей, выполнена формализация задачи синтеза изображения в контексте моделирования статической сцены, рассмотрены известные методы и алгоритмы ее решения;
- 2) спроектировано программное обеспечение;
- 3) выбраны средства реализации и разработано программное обеспечение;
- 4) исследованы характеристики разработанного программного обеспечения.

Таким образом, поставленная цель достигнута: разработано программное обеспечение с пользовательским интерфейсом, осуществляющее моделирование статической сцены с изображением предмета в неотполированном цветном зеркале.

## СПИСОК ИСПОЛЬЗОВАННЫХ ИСТОЧНИКОВ

1. *Залогова Л. А.* Компьютерная графика. Элективный курс : практикум. — М. : БИНОМ. Лаборатория знаний, 2005. — С. 245.
2. *Порев В.* Компьютерная графика // СПб.: БХВ-Петербург. — 2002. — Т. 432. — С. 3.
3. *Большаков В. П., Тозик В. Т., В Ч. А.* Инженерная и компьютерная графика. — БХВ-Петербург, 2013. — С. 288.
4. *Митин А. И., Свертилова Н. В.* Компьютерная графика : справочно-методич. пособие. — М.–Берлин : Директ-медиа, 2016. — С. 251.
5. *Турлюн Л. Н.* Компьютерная графика как особый вид современного искусства. — Издательство АлтГУ, 2014.
6. *Куров А. В.* Компьютерная графика : неопубликованный конспект лекций. — 2023.
7. Realistic materials in computer graphics / Н. Р. Lensch [и др.] // ACM SIGGRAPH 2005 Courses. — 2005.
8. *Reshetouski I., Ihrke I.* Mirrors in computer graphics, computer vision and time-of-flight imaging // Time-of-Flight and Depth Imaging. Sensors, Algorithms, and Applications: Dagstuhl 2012 Seminar on Time-of-Flight Imaging and GCPR 2013 Workshop on Imaging New Modalities. — Springer. 2013. — С. 77—104.
9. *Miguel A. L., Nogueira A. C., Goncalves N.* Real-time 3D visualization of accurate specular reflections in curved mirrors a GPU implementation // 2014 International Conference on Computer Graphics Theory and Applications (GRAPP). — IEEE. 2014. — С. 1—8.
10. Demonstration of light reflection concepts for rendering realistic 3D tree images / Т. Hiranyachattada [и др.] // Journal of Physics: Conference Series. Т. 2145. — IOP Publishing. 2021. — С. 12—74.
11. *Тюрин Ю. И., Чернов И. П., Крючков Ю. Ю.* Физика. Оптика: учебник. — Томск : Издательство Томского политехнического университета, 2009. — С. 240.

12. *Ландсберг Г. С.* Оптика. Учебное пособие: Для вузов. — М : ФИЗМАТ-ЛИТ, 2003. — С. 848.
13. *Родионов С. А.* Основы оптики : конспект лекций. — СПб. : СПб ГИТМО (ТУ), 2000. — С. 167.
14. *Боресков А. В.* Программирование компьютерной графики. — М. : ДМК Пресс, 2019. — С. 372.
15. *Божско А. Н., Жук Д. М., Маничев В. Б.* Компьютерная графика : учебное пособие для вузов. — М. : изд-во МГТУ им. Н.Э. Баумана, 2007. — С. 392.
16. *Евстратов В. В.* Создание программы визуализации псевдотрехмерного изображения с помощью рейкастинга // Молодой ученый. — 2020. — № 50. — С. 12—15.
17. The ray casting engine and ray representatives / J. L. Ellis [и др.] // Proceedings of the first ACM symposium on solid modeling foundations and CAD/CAM applications. — 1991. — С. 255—267.
18. *Bredenbals A.* Visualising Ray Marching in 3D / Bredenbals Anton. — Groningen : University of Groninge, 2022. — Режим доступа: <https://fse.studenttheses.ub.rug.nl/id/eprint/27977> (дата обращения: 05.12.2023).
19. *Szilvsi-Nagy M., Matyasi G.* Analysis of STL files // Mathematical and computer modelling. — 2003. — Т. 38, № 7—9. — С. 945—960.
20. *Роджерс Д.* Алгоритмические основы машинной графики: Пер. с англ. — М. : Мир, 1989. — С. 512.
21. *Möller T., Trumbore B.* Fast, minimum storage ray/triangle intersection // ACM SIGGRAPH 2005 Courses. — 2005. — С. 7.
22. Qt Documentation [Электронный ресурс]. — URL: <https://doc.qt.io/> (дата обращения: 14.12.2023).
23. Intel® Threading Building Blocks Tutorial [Электронный ресурс]. — URL: <https://www.inf.ed.ac.uk/teaching/courses/ppls/TBBtutorial.pdf> (дата обращения: 1.12.2023).



24. stl\_reader [Электронный ресурс]. — URL: [https://sreiter.github.io/stl\\_reader/stl\\_\\_reader\\_8h.html#details](https://sreiter.github.io/stl_reader/stl__reader_8h.html#details) (дата обращения: 3.11.2023).
25. CMake Reference Documentation [Электронный ресурс]. — URL: <https://cmake.org/cmake/help/latest/index.html> (дата обращения: 14.12.2023).

## Приложение А

### Презентация к курсовой работе